

DOI: 10.13718/j.cnki.xdsk.2017.08.004

无机磷对多甲藻生长及叶绿素荧光的影响^①

杨燕君¹, 许金铸², 吴忠兴¹, 施军琼¹

1. 西南大学三峡库区生态环境教育部重点实验室/重庆市三峡库区植物生态与资源重点实验室, 重庆 400715;
2. 重庆市万盛环保局, 重庆 万盛 400800

摘要: 磷通常被认为是水体藻类生长第一限制因子, 水体中磷的质量浓度对藻类生长与光合作用有着重要的影响。多甲藻(*Peridinium umbonatum*)是淡水甲藻水华常见的种类, 而磷对其影响的研究甚少。以多甲藻为研究对象, 探讨不同质量浓度无机磷源对多甲藻的生长及叶绿素荧光的影响。结果表明, 随着无机磷质量浓度的增加, 多甲藻的吸光度(OD)也增加。从培养期的第11 d开始, 磷质量浓度为0.1和0.6 mg/L处理下的多甲藻的OD值高于无磷(0 mg/L)与低磷(0.005, 0.02 mg/L)处理。叶绿素荧光动力学参数结果发现, 当磷质量浓度为0.005 mg/L与0.02 mg/L时, PSII单位反应中心(RC)耗散掉的能量(DI_0/RC), 单位反应中心捕获的并用于还原QA的能量(TR_0/RC), 单位反应中心传递到电子传递链末端的能量(RE_0/RC), 单位面积(CS)吸收的光能(ABS/CS_0), 单位面积的热耗散(DI_0/CS_0), 单位面积捕获的光能(TR_0/CS_0), 单位面积电子传递的量子产额(ET_0/CS_0), 单位面积传递到电子传递链末端的能量(RE_0/CS_0), 吸收的能量传递到电子链末端的量子产率(R_0)与无磷处理组差异无统计学意义。而磷质量浓度高于0.1 mg/L时, 荧光参数与无磷处理组差异有统计学意义($p < 0.05$)。这些结果表明了高磷处理(0.1, 0.6 mg/L)显著促进了多甲藻的生长与光合作用, 而无磷与低磷条件则对甲藻的生长与光合产生一定胁迫, 也暗示了磷质量浓度的变化可能影响多甲藻水华的发生及过程。

关 键 词: 多甲藻; 无机磷; 生长; 叶绿素荧光; JIP 测定

中图分类号: S555

文献标志码: A

文章编号: 1673-9868(2017)08-0026-08

甲藻(Dinoflagellate)是水生态系统中浮游植物的重要组成部分, 也是形成赤潮和水华的主要种类之一^[1]。甲藻形成的赤潮已经被广泛报道^[2], 但是对淡水甲藻水华的研究则相对较少。近年来, 随着水体富营养化的加剧, 已有大量淡水甲藻水华事件的报道^[3-4]。关于淡水甲藻水华的发生, 存在着许多争议。有些研究表明水体富营养化直接导致了甲藻水华的发生^[5], 但有研究发现甲藻水华也会发生在中营养或贫营养水体中, 与水体富营养化并没直接关系^[6-7]。因此, 探讨营养盐对甲藻水华的发生则具有重要的意义。

营养盐浓度是影响浮游植物生长的重要因素, 它不仅影响浮游植物生长速率、生化组成, 而且影响浮游植物群落结构及空间格局^[8-10]。磷是植物的必需元素, 它不仅参与植物生长发育过程中的各种代谢活动, 而且也影响着植物细胞膜结构、信号传导和光合作用以及某些酶的活性调节等^[11]。无机磷因能被藻类直接吸收利用, 被认为是藻类生长、繁殖最重要的磷源。然而, 水体中的磷主要以颗粒态的形式存在, 能被藻类

① 收稿日期: 2015-12-04

基金项目: 中央高校基本业务费专项(XDKJ2016C111); 国家自然科学基金项目(31170372); 西南大学博士基金项目(SWU110065)。

作者简介: 杨燕君(1991-), 女, 四川广安人, 硕士研究生, 主要从事藻类生理学的研究。

通信作者: 施军琼, 实验师。

直接利用的无机磷质量浓度往往少于水体中总磷质量浓度的 5%，因此，磷被认为是淡水水体中最主要的限制性元素^[12-13]。通过对野外甲藻水华的监测以及前人研究表明，磷的质量浓度与甲藻生物量之间呈显著正相关性^[14]。然而，磷如何影响甲藻的生长及水华的发生则较少研究。

因此，本研究以淡水甲藻—多甲藻为对象，通过叶绿素荧光动力学曲线(OJIP)及相关参数的变化，分析不同无机磷质量浓度对多甲藻光合作用过程中的能量流动、电子传递的影响，旨在探讨多甲藻生长及光合系统 PSII 对不同磷质量浓度的响应，为进一步研究淡水甲藻水华发生及过程提供重要依据。

1 材料与方法

1.1 藻体培养

实验所用多甲藻(*Peridinium umbonatum*)来自中国科学院武汉水生所淡水藻种库。藻种置于 119 培养基(表 1)中进行培养，培养条件为温度(25±1)℃，光强 30 μmol/(m²·s)，光照周期为 12L : 12D。到达对数期后，置于离心机中 4 000 r/min 离心 5 min，弃上清液，用无磷的 119 培养基清洗，以去除表面吸附的磷。重复洗涤，离心 3 次后，转入无磷 119 培养基中，进行磷饥饿培养 48 h 后作为实验用藻。

配制 5 种不同质量浓度无机磷的 119 培养基(表 1)，其中称取磷酸二氢钾磷(>99.5%)配置磷源母液，添加不同体积的磷源母液使培养基中最终磷质量浓度分别为 0 mg/L, 0.005 mg/L, 0.02 mg/L, 0.1 mg/L 和 0.6 mg/L。将磷饥饿培养后的甲藻等体积接入各个培养基中，在上述条件下培养，每个处理设置 3 个重复。

表 1 119 培养基组成成分及质量浓度

组分	母液质量浓度 (每 100 mL 含 dH ₂ O 的克数)/g	用量
NaNO ₃	5	1 mL/L
MgSO ₄ · 7H ₂ O	1.5	1 mL/L
KH ₂ PO ₄	0.7	1 mL/L
CaCl ₂ · H ₂ O	1	1 mL/L
Na ₂ SiO ₃ · 9H ₂ O	0.5	1 mL/L
KHCO ₃	1	1 mL/L
Na ₂ CO ₃	0.5	1 mL/L
维生素 H(Biotin)	0.001	10 μL/L
PIV		1 mL/L
EDTA-Fe		1 mL/L

1.2 生长指标测定

从接入藻种的初始天开始每 2 d 取藻液 5 mL，用紫外分光光度计(UV-2550，岛津)在 451 nm 波长下测定其吸光度(OD)。

1.3 叶绿素荧光的测定

每个处理各取 2.5 mL 对数期的藻液，经 20 min 的暗适应后，用植物效率分析仪(Handy PEA/LPA₂，Hansatech)测定 OJIP 曲线，测定光强为 3 000 μmol/(m²·s)，测定结果包含了能够准确记录 O-J-I-P 等阶，即从 10 μs 到 2 s 的叶绿素荧光变化^[15]。通过 OJIP 曲线的变化及计算，获得了以下参数： F_0 , F_m , F_v , V_J , S_m , DI_0/RC , TR_0/RC , RE_0/RC , ABS/CS_0 , DI_0/CS_0 , TR_0/CS_0 , ET_0/CS_0 , RE_0/CS_0 和 PI_{ABS} 。获得的 OJIP 曲线相关参数及其含义如表 2^[16]。

1.4 数据处理及分析

所有实验数据的处理和分析均在 SPSS 17.0 中进行，采用方差分析进行数据统计， $p < 0.05$ 为差异有

统计学意义. 用 Origin6.1 绘制文中所有图形.

表 2 选取的 JIP-测定参数及其意义

OJIP 参数	含义
F_0	暗适应后的最小荧光强度, 即所有反应中心完全开放时的荧光强度
F_m	暗适应后的最大荧光强度, 即所有反应中心完全关闭时的荧光强度
F_v	黑暗中最大可变荧光强度
DI_0/RC	$t=0$ 时单位反应中心(RC)耗散掉的能量
TR_0/RC	$t=0$ 时单位反应中心(RC)捕获的并用于还原 QA 的能量
RE_0/RC	单位反应中心(RC)传递到电子传递链末端的能量
ABS/CS_0	$t=0$ 时单位面积(CS)吸收的光能
DI_0/CS_0	$t=0$ 时单位面积(CS)的热耗散
TR_0/CS_0	$t=0$ 时单位面积(CS)捕获的光能
ET_0/CS_0	$t=0$ 时单位面积(CS)电子传递的量子产额
RE_0/CS_0	单位面积(CS)传递到电子传递链末端的能量
V_J	在 J 点的相对可变荧光强度
S_m	y 轴及荧光强度($F=F_m$)之间的面积
PI_{ABS}	以吸收光能为基础的性能指数
R_0	吸收的能量传递到电子链末端的量子产率

2 结果

2.1 不同磷质量浓度对多甲藻生长的影响

在不同质量浓度无机磷培养下, 多甲藻的 OD 值随培养时间的增加而增加. 整个培养期间, 磷质量浓度为 0.005 mg/L 和 0.02 mg/L 的处理组与无磷条件相比差异无统计学意义. 而培养的第 11 d 开始, 0.1 mg/L 和 0.6 mg/L 处理组的 OD 值高于无磷处理组(图 1).

2.2 磷对叶绿素荧光诱导动力学曲线(O-J-I-P)的影响

在不同质量浓度磷的培养下, 多甲藻的 OJIP 曲线的变化如图 2. 培养于 0.6 mg/L 磷下的多甲藻的相对可变荧光没有显著变化, 与 0.6 mg/L 磷培养条件下的多甲藻荧光相比, 培养于 0, 0.005 mg/L, 0.02 mg/L 和 0.1 mg/L 下的多甲藻 OJIP 曲线的 J 点均升高. 虽然不同磷质量浓度下的 OJIP 曲线有差异, 但其 O, J, I 和 P 四相均存在.

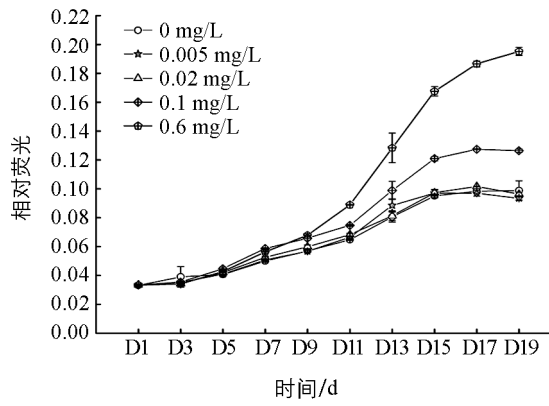


图 1 不同磷质量浓度对多甲藻生长的影响

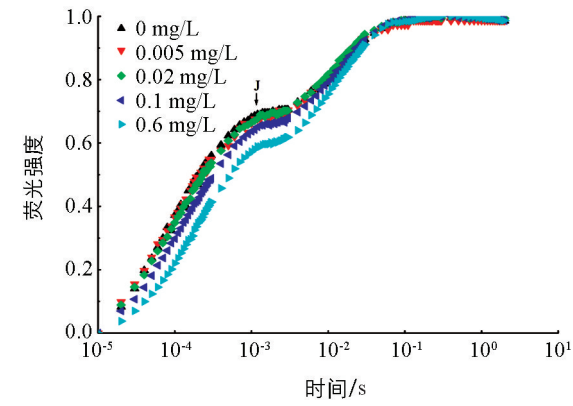


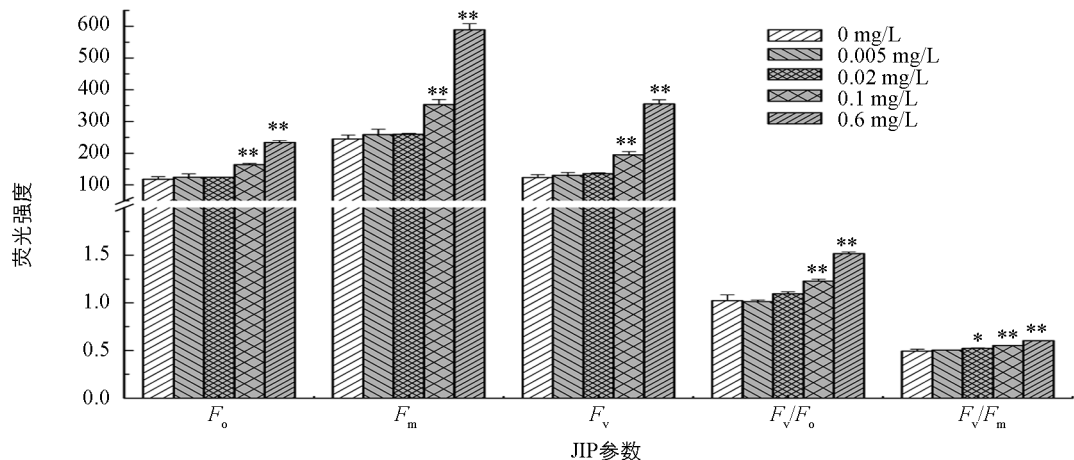
图 2 不同磷质量浓度下多甲藻 OJIP 曲线的变化

2.3 叶绿素荧光参数分析(JIP-test)

2.3.1 磷质量浓度对多甲藻 F_0 , F_m , F_v , F_v/F_0 和 F_v/F_m 的影响

随着磷质量浓度的增加, F_0 , F_m , F_v , F_v/F_0 和 F_v/F_m 均增加, 但与无磷条件相比, 低磷环境

(0.005 mg/L 和 0.02 mg/L) 培养下的多甲藻的荧光参数差异无统计学意义, 而富磷条件(0.1 mg/L 和 0.6 mg/L) 下的荧光参数值则显著高于无磷条件($p < 0.05$) (图 3)。

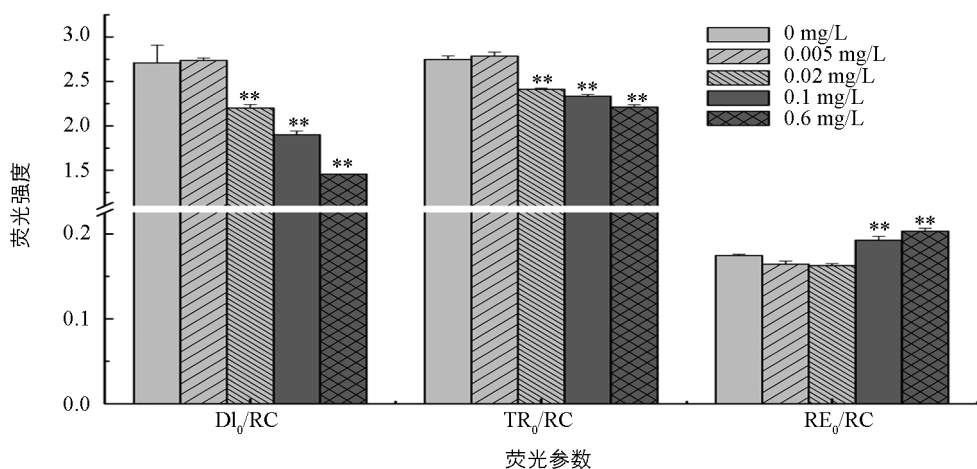


* 表示 $p < 0.05$; ** 表示 $p < 0.01$, 差异有统计学意义.

图 3 不同质量浓度磷对多甲藻 F_o , F_m , F_v , F_v/F_o 和 F_v/F_m 的影响

2.3.2 不同磷质量浓度对单位反应中心能量流动的影响

随着磷质量浓度的增加, DI_o/RC 逐渐降低, 与无磷条件相比, 磷质量浓度为 0.02, 0.1 和 0.6 mg/L 时差异有统计学意义, DI_o/RC 分别降低了 18.8%, 29.8% 和 46.2%, 磷质量浓度为 0.005 mg/L 时差异无统计学意义. TR_o/RC 的变化趋势与 DI_o/RC 相似, 随着磷质量浓度的增加而降低, 且磷质量浓度为 0.02, 0.1 和 0.6 mg/L 时差异有统计学意义, 分别降低了 12.2%, 15.1% 和 19.5%. RE_o/RC 与 DI_o/RC 和 TR_o/RC 变化趋势相反, 随着磷质量浓度的增加而增加, 并且与无磷条件相比, 富磷条件下差异有统计学意义, 而低磷条件差异无统计学意义(图 4)。

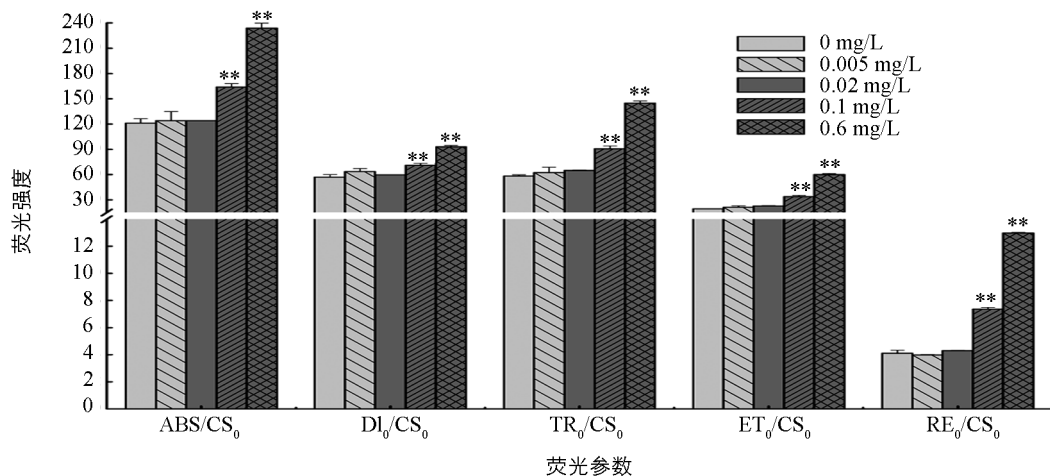


* 表示 $p < 0.05$; ** 表示 $p < 0.01$, 差异有统计学意义.

图 4 不同质量浓度磷对多甲藻 DI_o/RC , TR_o/RC 和 RE_o/RC 的影响

2.3.3 不同磷质量浓度对单位反应面积能量流动的影响

随着磷质量浓度的增加, ABS/CS_o , DI_o/CS_o , TR_o/CS_o , ET_o/CS_o , RE_o/CS_o 均增加. 与无磷条件相比, 低磷条件下各荧光参数差异无统计学意义($p > 0.05$), 而富磷条件下的荧光参数差异有统计学意义($p < 0.05$). 与无磷条件相比, 两个富磷条件下的 ABS/CS_o 分别增加了 35.5% 和 93.4%; DI_o/CS_o 分别增加了 24.9% 和 63.4%; TR_o/CS_o 分别增加了 56% 和 149.3%; ET_o/CS_o 分别增加了 73.4% 和 208.3%; RE_o/CS_o 分别增加了 80% 和 216% (图 5).



* 表示 $p < 0.05$; ** 表示 $p < 0.01$, 差异有统计学意义.

图 5 不同质量浓度磷对多甲藻 ABS/CS_0 , DI_0/CS_0 , TR_0/CS_0 , ET_0/CS_0 和 RE_0/CS_0 的影响

2.3.4 不同磷质量浓度对 V_J , S_m , PI_{ABS} 和 R_o 的影响

不同磷质量浓度下 V_J , S_m , PI_{ABS} , R_o 的变化如表 3. 随着磷质量浓度的增加, V_J 逐渐降低. 与无磷条件相比, 磷质量浓度为 0.005 mg/L 时, V_J 无显著变化, 而当磷质量浓度为 0.02 mg/L 或大于 0.02 mg/L 时, V_J 显著降低. S_m , PI_{ABS} 和 R_o 均随着磷质量浓度的增加而增加. 与无磷质量浓度相比, 富磷条件下的荧光参数显著增高, 而低磷条件下差异无统计学意义.

表 3 不同质量浓度磷对多甲藻 V_J , S_m , PI_{ABS} 和 R_o 的影响

磷质量浓度/(mg · L⁻¹)	V_J	S_m	PI_{ABS}	R_o
0	0.665 ± 0.010	8.154 ± 0.36	0.097 ± 0.012	0.0314 ± 0.002
0.005	0.663 ± 0.003	7.863 ± 0.46	0.093 ± 0.003	0.0312 ± 0.002
0.02	$0.647 \pm 0.005^*$	8.212 ± 0.32	$0.13 \pm 0.004^{**}$	0.0346 ± 0.000
0.1	$0.627 \pm 0.002^{**}$	9.194 ± 0.14	$0.173 \pm 0.006^{**}$	$0.0454 \pm 0.000^{**}$
0.6	$0.583 \pm 0.003^{**}$	$10.469 \pm 0.28^{**}$	$0.295 \pm 0.002^{**}$	$0.0555 \pm 0.001^{**}$

* 表示 $p < 0.05$; ** 表示 $p < 0.01$, 差异有统计学意义.

3 讨 论

有研究表明磷能影响微藻的生长速率和光合作用^[17-18], 当磷质量浓度过低时, 微藻的生长会受到严重抑制^[19], 我们的研究结果也支持了这一结论(图 1). 说明多甲藻的生长与磷质量浓度有直接的关系.

通过 O-J-I-P 荧光动力学分析可以得出各种指示光合系统 II 能量分布、吸收、诱捕、耗散等参数及电子传递状况^[16]. 在正常生理条件下, 典型的快速叶绿素荧光诱导动力学曲线记录了从 F_0 到 F_m 的整个荧光变化过程, 即 O, J, I 和 P 四相^[20-21]. 在本研究中, 与超富磷处理组(0.6 mg/L)相比, 其余磷处理组的 J 点均上升, 说明低磷条件下, 多甲藻的电子传递受到一定程度的抑制.

F_0 代表初始荧光, 是不参与光化学反应的光能辐射部分, 其与叶绿素浓度有关^[22-23]. F_m 和 F_v 分别表示最大荧光(光合系统 II 反应中心原初电子受体全部还原时的荧光)和可变荧光(参与光化学反应的光能辐射部分)^[22]. 在荧光的测定中, F_v/F_0 可反映 PSII 活力, 而 F_v/F_m 可代表 PSII 光化学的最大效率^[24]. 植物体内磷的质量浓度会影响其光能转换和利用^[25-26]. 研究表明^[17], 当藻细胞遭受磷限制时, F_v/F_m 会明显降低, 其可能原因是低磷条件限制了藻细胞的光合磷酸化, 降低了卡尔文循环效率, 进而导致光合速率降低^[27]. 本研究发现随着磷质量浓度的增加, F_0 , F_m , F_v , F_v/F_0 和 F_v/F_m 逐渐增加(图 3), 表明磷质量

浓度增加,多甲藻受激发的电子密度增加,用于进行有效光化学反应的光合辐射增加,进而导致多甲藻的光合效率增强,多甲藻生长速率增快。而无磷和低磷处理下多甲藻电子传递受阻,受到光合抑制。

植物在进行光合作用时,吸收的光能大部分用于光化学反应和光合能量的转换,只有少部分以热和叶绿素荧光等方式散失掉。一旦植物受到胁迫,其光化学反应降低,吸收的光能则更多以热和荧光形式损失掉^[28-29]。本研究发现,与高磷处理组相比,无磷与低磷处理组的荧光参数 RE_0/RC , ABS/CS_0 , DI_0/CS_0 , TR_0/CS_0 , ET_0/CS_0 , RE_0/CS_0 和 R_0 均显著降低,而 DI_0/RC 和 TR_0/RC 显著升高(图 4, 图 5)。说明在无磷和低磷处理下,多甲藻光合系统 II 中有活性反应中心的数量及单位面积吸收的光能减少,而用于还原 Q_A 的能量增加,使得单位面积电子传递产额降低,传递到电子链末端的能量也降低,进而导致整个光合电子传递影响。此外,无磷和低磷处理组中 DI_0/RC 的升高,进一步说明单位反应中心耗散掉的能量增加,而用于光化学反应的能量相应减少,光能有效利用率降低,导致光合作用受抑制。相反,在高磷处理下,多甲藻热耗散降低,并且用于电子传递的能量增加,使得光能利用率增加,光合效率增大。

V_J 是指光照 2 ms 时有活性的反应中心关闭程度^[16]。 S_m 则表示 Q_A 全部被还原时所需要的能量,即 PSⅡ受体侧 PQ 库的大小,电子从 Q_A^- 进入电子传递链越多, S_m 的值就越大^[16]。由表 3 可以看出,在无磷和低磷处理条件下, V_J 和 S_m 显著低于高磷处理组,说明磷限制使得 RC 的数量减少,获得的能量较少用于电子传递而更多用于还原 Q_A ,从而抑制了 Q_A 到 Q_B 的电子传递,造成 Q_A^- 大量积累,降低了 PQ 库容量^[30], J 点升高^[31]。 PI_{ABS} 是反映基于光能吸收的性能指数,因此能很好地表征植物光合结构的状态^[32-33]。 PI_{ABS} 随着磷质量浓度的降低而降低(表 3),表明磷的降低,影响了多甲藻的光合结构。

综上所述,在不同无机磷质量浓度处理下,高磷处理显著提升了多甲藻的光合效率,而无磷和低磷处理则显著抑制了光合电子传递,降低了光合效率。因此,随着水体磷质量浓度的升高,多甲藻的光合效率增加,将促使其生物量的增加,为其水华的发生提供前提条件。

参考文献:

- [1] 张琪, 缪荣丽, 刘国祥, 等. 淡水甲藻水华研究综述 [J]. 水生生物学报, 2012, 36(2): 352—360.
- [2] 周名江, 于仁成. 有害赤潮的形成机制、危害效应与防治对策 [J]. 自然杂志, 2007, 29(2): 72—77.
- [3] 边归国, 陈宁, 胡征宇, 等. 福建某河流甲藻水华与污染指标的关系 [J]. 湖泊科学, 2010, 22(3): 405—410.
- [4] 孙育平, 游江涛, 雷腊梅, 等. 黄龙带水库甲藻水华的脂肪酸组成特征 [J]. 生态科学, 2008, 27(5): 394—397.
- [5] 洪尚波, 吴光应, 万丹, 等. 三峡水库大宁河春季水华藻类分布及影响因子 [J]. 水资源保护, 2012, 28(1): 80—84.
- [6] FUKUJU S, TAKAHASHI T, KAWAYOKE T. Statistical Analysis of Freshwater Red Tide in Japanese Reservoirs [J]. Water Science & Technology, 1998, 37(2): 203—210.
- [7] CANTONATI M, TARDIO M, TOLOTTI M, et al. Blooms of the Dinoflagellate *Glenodinium Sanguineum* Obtained During Enclosure Experiments in Lake Tovel (N. Italy) [J]. Journal of Limnology, 2003, 62(1): 79—87.
- [8] GOLDMAN J C, MCCARTHY J J, PEAVEY D G. Growth Rate Influence on the Chemical Composition of Phytoplankton in Oceanic Waters [J]. Nature, 1979, 279(5710): 210—215.
- [9] BEARDALL J, YOUNG E, ROBERTS S. Approaches for Determining Phytoplankton Nutrient Limitation [J]. Aquatic Sciences, 2001, 63(1): 44—69.
- [10] DYHRMAN S T, AMMERMAN J W, VAN-MOOY B. Microbes and the Marine Phosphorus Cycle [J]. Oceanography, 2007, 20(2): 110—116.
- [11] CRAWFORD N M. Nitrate: Nutrient and Signal for Plant Growth [J]. Plant Cell, 1995, 7(7): 859—868.
- [12] HECKY R E, KILHAM P. Nutrient Limitation of Phytoplankton in Freshwater and Marine Environments: A Review of Recent Evidence on the Effects of Enrichment [J]. Limnology and Oceanography, 1988, 33(4): 796—822.

- [13] 段宇, 田永强, 莫钰, 等. 厦门周边水库浮游植物碱性磷酸酶活性研究 [J]. 环境科学与技术, 2011, 34(S2): 20—24.
- [14] SPEARS B M, CARVALHO L, DUDLEY B, et al. Variation in Chlorophyll a to Total Phosphorus Ratio Across 94 UK and Irish Lakes: Implications for Lake Management [J]. Journal of Environmental Management, 2013, 115(3): 287—294.
- [15] VENKATESH J, UPADHYAYA C P, YU J W, et al. Chlorophyll a Fluorescence Transient Analysis of Transgenic Potato Overexpressing D-Galacturonic Acid Reductase Gene for Salinity Stress Tolerance [J]. Horticulture Environment and Biotechnology, 2012, 53(4): 320—328.
- [16] 李鹏民, 高辉远, STRASSER R J. 快速叶绿素荧光诱导动力学分析在光合作用研究中的应用 [J]. 植物生理学与分子生物学学报, 2005, 31(6): 559—566.
- [17] BEARDALL J, BERMAN T, HERAUD P, et al. A Comparison of Methods for Detection of Phosphate Limitation in Microalgae [J]. Aquatic Sciences, 2001, 63(1): 107—121.
- [18] SEBASTIAN L, FRAMPTON D M F, BLACKBURN S I, et al. Influence of Phosphorus Limitation on Toxicity and Photosynthesis of *Alexandrium Minutum* (Dinophyceae) Monitored by in-Line Detection of Variable Chlorophyll Fluorescence [J]. Journal of Phycology, 2003, 39(2): 320—331.
- [19] 宋丽娜, 郑晓宇, 顾詠洁, 等. 磷浓度对海洋小球藻叶绿素荧光及生长的影响 [J]. 环境污染与防治, 2010, 32(8): 20—24.
- [20] STIRBET A, GOVINDJEE. Chlorophyll a Fluorescence Induction: a Personal Perspective of the Thermal Phase, the J-I-P Rise [J]. Photosynthesis Research, 2012, 113(1—3): 15—61.
- [21] SRIVASTAVA A, STRASSER R J. Stress and Stress Management of Land Plants During a Regular Day [J]. Journal of Plant Physiology, 1996, 148(3): 445—455.
- [22] 朱延姝, 于丽姣, 樊金娟, 等. 玉米幼苗叶片叶绿素荧光参数变化规律研究 [J]. 河南农业科学, 2011, 40(6): 36—38.
- [23] 张守仁. 叶绿素荧光动力学参数的意义及讨论 [J]. 植物学通报, 1999, 16(4): 444—448.
- [24] 赵丽英, 邓西平, 山仑. 渗透胁迫对小麦幼苗叶绿素荧光参数的影响 [J]. 应用生态学报, 2005, 16(7): 1261—1264.
- [25] PLESNICAR M, KASTORI R, PETROVIC N, et al. Photosynthesis and Chlorophyll Fluorescence in Sunflower (*Helianthus annuus* L.) Leaves as Affected by Phosphorus Nutrition [J]. Journal of Experimental Botany, 1994, 45(7): 919—924.
- [26] 李绍长, 胡昌浩, 龚江, 等. 低磷胁迫对磷不同利用效率玉米叶绿素荧光参数的影响 [J]. 作物学报, 2004, 30(4): 365—370.
- [27] 梁英, 金月梅, 田传远. 氮磷浓度对绿色巴夫藻生长及叶绿素荧光参数的影响 [J]. 海洋湖沼通报, 2008(1): 120—128.
- [28] MAXWELL K, JOHNSON G N. Chlorophyll Fluorescence-a Practical Guide [J]. Journal of Experimental Botany, 2000, 51(345): 659—668.
- [29] CONSALVEY M, PERKINS R G, PATERSON D M, et al. PAM Fluorescence: a Beginners Guide for Benthic Diatomists [J]. Diatom Research, 2005, 20(1): 1—22.
- [30] STRASSER B J. Donor Side Capacity of Photosystem II Probed by Chlorophyll a Fluorescence Transients [J]. Photosynthesis Research, 1997, 52(2): 147—155.
- [31] NI L X, ACHARYA K, HAO X Y, et al. Effects of Artemisinin on Photosystem II Performance of *Microcystis aeruginosa* by in Vivo Chlorophyll Fluorescence [J]. Bulletin of Environmental Contamination and Toxicology, 2012, 89(6): 1165—1169.
- [32] APPENROTH K J, STÖCKEL J, SRIVASTAVA A, et al. Multiple Effects of Chromate on the Photosynthetic Apparatus of Spirodela Polyrhiza as Probed by OJIP Chlorophyll a Fluorescence Measurements [J]. Environmental Pollution, 2001, 115(1): 49—64.

- [33] HEERDEN P D R V, TSIMILLI-MICHAEL M, KRÜGER G H J, et al. Dark Chilling Effects on Soybean Genotypes During Vegetative Development: Parallel Studies of CO₂ Assimilation, Chlorophyll a Fluorescence Kinetics O-J-I-P and Nitrogen Fixation [J]. *Physiologia Plantarum*, 2003, 117(4): 476—491.

Effect of Inorganic Phosphorus on the Growth and Chlorophyll Fluorescence of *Peridinium umbonatum*

YANG Yan-jun¹, XU Jin-zhu², WU Zhong-xing¹, WU Xing-hua¹

1. Key Laboratory of Eco-Environments in Three Gorges Reservoir Region (Ministry of Education)/Chongqing Key Laboratory of Plant Ecology and Resources Research in Three Gorges Reservoir Region, Southwest University, Chongqing 400715, China;
2. Wansheng Environmental Protection Bureau, Wansheng Chongqing 400800, China

Abstract: Phosphorus is usually considered as a key limiting factor on algae growth, because it has a great effect on the growth and photosynthesis of algae. *Peridinium umbonatum* is a common bloom-forming species of freshwater dinoflagellates, but few studies are devoted to the understanding of the effect of phosphorus on it. In this study, *P. umbonatum* was cultured at different concentrations of inorganic phosphorus in order to explore the influences of phosphorus on its growth and chlorophyll fluorescence. The results indicated that the value of OD was enhanced with the increase of inorganic phosphorus concentration. After 11-day culture, OD in *P. umbonatum* at 0.1 and 0.6 mg/L phosphorus was significantly higher than that in the treatments at no and low phosphorus ($p < 0.05$). The chlorophyll fluorescence kinetics parameters showed that no significant differences existed between the treatments of 0.005 mg/L or 0.02 mg/L and 0 mg/L in DI_0/RC , TR_0/RC , RE_0/RC , ABS/CS_0 , DI_0/CS_0 , TR_0/CS_0 , ET_0/CS_0 , RE_0/CS_0 and R_0 , while significant differences were detected between no-P and the treatments of ≥ 0.1 mg/L in these parameters ($p < 0.05$). These results suggested that rich phosphorus significantly promoted the growth and photosynthesis of *P. umbonatum*, while no and low phosphorus had a negative influence on it. This also implied that the changes of phosphorus concentration might affect the formation and process of Peridinium blooms.

Key words: *Peridinium umbonatum*; inorganic phosphorus; growth; chlorophyll fluorescence; JIP-test

责任编辑 周仁惠

